



# БИООРГАНИЧЕСКАЯ ХИМИЯ

том 8 \* № 6 \* 1982

УДК 547.962.02:577.156

## ПЕРВИЧНАЯ СТРУКТУРА $\beta$ -СУБЪЕДИНИЦЫ ДНК-ЗАВИСИМОЙ РНК-ПОЛИМЕРАЗЫ *E. COLI*. ГИДРОЛИЗ ПРОТЕИНАЗОЙ ИЗ *STAPHYLOCOCCUS AUREUS*

Липкин В. М., Макарова И. А., Гринкевич В. А.,  
Ахапкина И. Г., Потапенко Н. А., Тележинская И. Н.

Институт биоорганической химии им. М. М. Шемякина  
Академии наук СССР, Москва

С помощью протеиназы из *Staphylococcus aureus* проведен гидролиз карбоксиметилированной и цитраконилированной  $\beta$ -субъединицы РНК-полимеразы. Продукты гидролиза разделены гель-фильтрацией на бигеле P-4 с последующей хроматографией на катионите и очищены с помощью хроматографии и электрофореза на бумаге. Установлена полная аминокислотная последовательность 128 и частичная 16 пептидов. Изученные пептиды в сумме содержат 1087 аминокислотных остатков, входящих в полипептидную цепь  $\beta$ -субъединицы фермента.

Для детального изучения механизма функционирования ДНК-зависимой РНК-полимеразы необходимо знание первичной структуры составляющих ее субъединиц. Ранее традиционными методами белковой химии была установлена аминокислотная последовательность меньшей из них —  $\alpha$ -субъединицы (M 36512) [1]. К изучению более крупных  $\beta$ - и  $\beta'$ -субъединиц [2] стандартный подход не применим из-за ряда методологических трудностей, возникающих, во-первых, при разделении чрезвычайно сложных пептидных смесей, образующихся при расщеплении белков традиционными агентами, и, во-вторых, при реконструкции аминокислотной последовательности по «перекрывающимся» фрагментам.

Для установления аминокислотной последовательности  $\beta$ - и  $\beta'$ -субъединиц был использован подход, состоящий в параллельном исследовании первичных структур белков и соответствующих им генов. Основная задача при таком подходе состоит в выделении и определении первичной структуры пептидов, в сумме составляющих всю полипептидную цепь белка, и сопоставлении ее со структурой соответствующих участков гена. Для этих целей можно использовать пептиды сравнительно небольшого молекулярного веса, методы разделения которых хорошо разработаны, и таким образом избежать наиболее трудоемкой части работы — выделения и установления структур большого числа относительно крупных перекрывающихся пептидов.

Ранее была опубликована аминокислотная последовательность  $\beta$ -субъединицы, выведенная на основании нуклеотидной последовательности соответствующего ей гена *groB* и подтвержденная структурой пептидов, полученных при исчерпывающем гидролизе белка протеиназой из *St. aureus* и ограниченном протеинолизе трипсином [3, 4]. Целью данной работы является изучение продуктов гидролиза  $\beta$ -субъединицы ДНК-зависимой РНК-полимеразы *E. coli* протеиназой из *St. aureus*.

Гидролиз протеиназой из *St. aureus*, проявляющей специфичность по отношению к связям, образованным  $\alpha$ -карбоксильными группами остатков глутаминовой кислоты, в качестве метода расщепления полипептидной цепи был выбран на основании аминокислотного анализа  $\beta$ -субъединицы [5]. Наличие 188 остатков глутаминовой кислоты и высокая специфическая активность протеиназы позволяли рассчитывать на образование сравнительно небольшого числа (100–150) достаточно коротких пептидов, необходимых для целей исследования. Для улучшения растворимости  $\beta$ -субъединицы карбоксиметилированный белок перед гидролизом модифицировали цитраконовым ангидридом. Гидролиз проводился в 0,2 М ам-

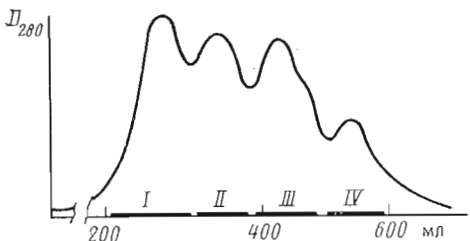


Рис. 1. Разделение пептидов, полученных в результате гидролиза  $\beta$ -субъединицы протеиназой из *St. aureus*, гель-фильтрацией на колонке (2,5×100 см) с биогелем P-4, уравновешенным 0,1 М аммоний-бикарбонатным буфером (рН 8,0). Элюция тем же буфером. Отмечены границы объединения фракций

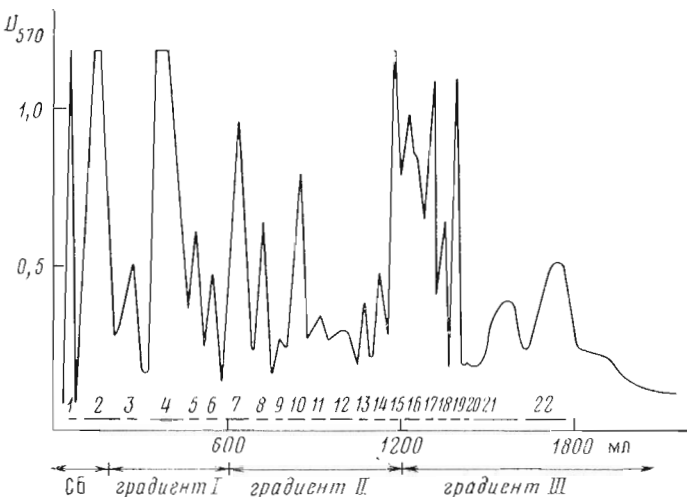


Рис. 2. Разделение пептидов фракции I (рис. 1) с помощью ионообменной хроматографии на колонке (0,6×60 см) с катионообменной смолой аминекс AG-50Wx4. Здесь и на рис. 3, 4 отмечены границы объединения фракций. Состав стартового буфера (СБ) и градиентов I-III см. «Эксперимент. часть»

аммоний-бикарбонатном буфере (рН 8,0) при фермент-субстратном соотношении 1 : 60. Первоначальное фракционирование осуществлялось гель-фильтрацией на колонке с биогелем P-4. В результате были получены четыре фракции (рис. 1).

Состав фракций анализировался с помощью метода пептидных карт.

Фракция IV наряду с пептидным материалом содержала соли. Пептиды этой фракции обессоливались на сефадексе G-10 и полученная смесь разделялась с помощью хроматографии на бумаге. В результате были выделены три индивидуальных пептида: IV-1, IV-2 и IV-3.

Фракции II и III состояли из пептидов со сравнительно небольшим молекулярным весом (2–20 аминокислотных остатков). Для разделения смесей этих пептидов была использована традиционная схема, основанная на первоначальном фракционировании пептидов хроматографией на катионите с последующим разделением отдельных субфракций хроматографией и электрофорезом на бумаге. Для ионообменной хроматографии фракции III применялся аминекс AG-50Wx4, а в случае фракции II, содержащей смесь сравнительно более высокомолекулярных пептидов, — аминекс AG-50Wx2. Элюирование пептидов осуществлялось системой пиридин-ацетатных буферов с экспоненциальным градиентом рН и концентрации.

Фракция I, как показал ее анализ с помощью метода пептидных карт, состояла из смеси крупных пептидов, не обладающих заметной электрофоретической и хроматографической подвижностью. С целью облегчения анализа пептидный материал фракции подвергался дополнительному гидролизу химотрипсином, и полученная смесь разделялась аналогично пептидам фракции III.

В результате хроматографирования из фракции I было получено 22, из фракции II — 33, а из фракции III — 41 объединенная фракция (рис. 2–4). Их состав анализировался с помощью хроматографии в тон-

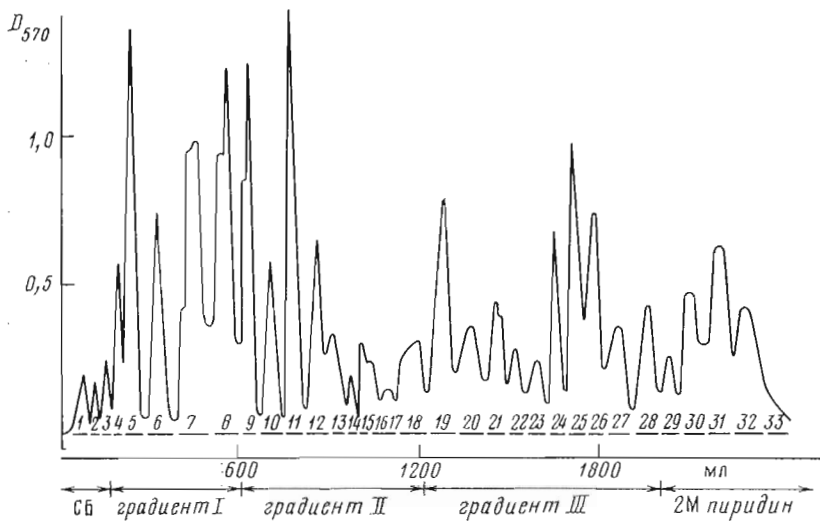


Рис. 3. Разделение пептидов фракции II (рис. 1) с помощью ионообменной хроматографии на колонке ( $0,6 \times 60$  см) с катионитом аминекс AG-50Wx2

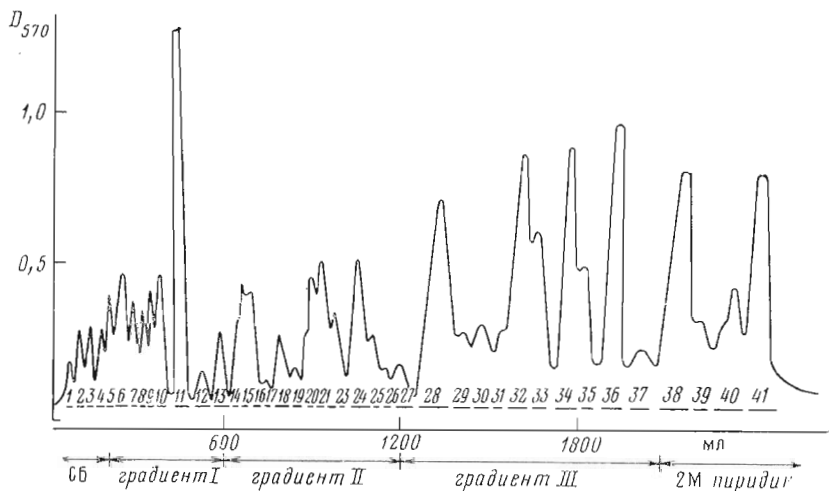


Рис. 4. Разделение пептидов фракции III (рис. 1) с помощью ионообменной хроматографии на колонке ( $0,6 \times 60$  см) с катионнообменной смолой аминекс AG-50Wx4

ком слое целлюлозы и определения N-концевых аминокислотных остатков. Фракции III-12, III-20 и III-40 были гомогенными пептидами. При концентрировании ряда фракций образовались осадки, которые были отделены центрифугированием. В результате было получено дополнительно шесть индивидуальных пептидов: I-7-1, II-16-1, III-22-1, III-30-1, III-31-1 и III-32-1.

Большинство фракций представляло собой смеси сравнительно небольшого числа пептидов, и для их последующего препаративного разделения использовалась хроматография на бумаге.

Разделение пептидов фракции I-12, не образующих четких зон при хроматографировании на целлюлозе, проводилось гель-фильтрацией на сефадексе G-25 (сверхтонкий) с последующей хроматографией на бумаге.

Анализ N-концевых аминокислотных остатков показал, что фракции III-38-1 и III-37-3, полученные с помощью хроматографии на бумаге, не являлись гомогенными пептидами, для их дальнейшего разделения использовался электрофорез на бумаге при pH 6,5.

Таким образом из фракций I-IV было выделено 41, 48, 68 и 3 индивидуальных пептида соответственно. Данные о распределении пептидов по фракциям и их аминокислотный состав представлены в табл. 1. Как вид-

Таблица 1

**Аминокислотный состав пептидов, полученных в результате гидролиза  
β-субъединицы протеиназой из *St. aureus***

Аминокислота	Пептиды										
	I-1-1	I-1-2	I-2-1	I-2-2	I-2-3	I-3-1	I-4-1, I-7-4	I-5-1, I-7-2, I-8-1	I-5-2, I-6-1	I-5-3	I-5-4
Asp	3	2	1	—	—	—	1	3	—	2	2
Thr	2	1	1	1	1	—	1	—	1	1	1
Ser	2	1	—	—	1	1	1	—	—	1	—
Glu	4	—	2	1	2	—	1	3	2	—	1
Pro	2	1	—	—	1	—	1	2	2	1	1
Gly	1	1	—	2	—	2	2	2	4	2	2
Ala	—	1	1	—	—	—	—	—	—	—	1
Val	2	—	—	1	1	—	—	1	1	3	1
Cys(Cm)	2	—	—	—	—	—	—	—	1	—	—
Met	1	—	—	1	—	—	—	2	—	—	—
Ile	1	—	—	—	—	4	1	1	1	1	1
Leu	1	—	—	—	2	1	5	—	—	—	2
Tyr	—	—	—	—	—	—	4	—	—	—	—
Phe	—	—	—	—	—	—	—	—	—	—	—
His	—	—	—	—	—	—	—	1	—	—	—
Lys	—	—	—	—	—	—	1	1	—	—	1
Arg	1	—	—	—	—	—	1	—	1	1	—
Trp	—	—	—	—	—	—	—	—	—	—	—
N-Концевая аминокислота	Thr	Ala	Ala	Val	Ser	Gly	Leu	Lys	Gly	Arg	Lys
Число остатков	22	7	5	6	8	5	16	16	10	12	13
Выход, %	35,7	16	3,6	13	26	13	8	5,7	16	13	9

Аминокислота	Пептиды									
	I-7-1	I-7-3	I-8-2	I-9-1, I-10-1	I-10-2	I-11-1, II-7-2	I-11-2	I-11-3	I-11-4, I-12-1-2	I-12-1-1
Asp	3	1	—	—	1	1	—	—	3	—
Thr	—	1	—	—	—	1	—	1	—	1
Ser	1	—	1	—	—	1	—	—	—	—
Glu	—	1	1	4	—	2	1	—	—	1
Pro	—	—	—	—	1	1	1	—	1	1
Gly	—	2	—	—	—	1	1	1	—	—
Ala	—	—	2	—	1	1	—	—	—	1
Val	1	—	1	—	—	1	—	1	—	1
Cys(Cm)	—	—	—	—	—	1	—	1	—	—
Met	1	—	—	—	—	—	—	—	—	—
Ile	2	—	—	—	—	2	—	—	1	—
Leu	1	—	—	—	—	—	2	1	—	1
Tyr	—	—	—	—	—	—	—	—	1	—
Phe	—	—	—	—	—	—	—	—	2	—
His	—	—	—	—	—	—	—	—	—	—
Lys	3	—	1	1	1	1	1	1	—	1
Arg	—	1	—	—	—	1	—	1	—	1
Trp	—	—	—	—	—	—	—	—	—	—
N-Концевая аминокислота	Ser	Asp	Ser	Lys	Ile	Leu	Lys	Cys(Cm)	Phe	Arg
Число остатков	12	6	6	5	6	14	6	8	8	6
Выход, %	7	10	13	14	23	11	26	48	5,7	3

Аминокислота	Пептиды									
	I-12-2-1, I-13-1-1, I-14-1-1	I-14-1-1, II-11-2-2	I-15-1-1	I-15-2-2, I-16-2-2	I-15-3-3	I-15-4-4	I-15-5-5	I-15-6-6	I-16-1-1	
Asp	1	1	3	2	2	—	2	—	2	
Thr	—	1	—	—	—	—	—	1	1	
Ser	1	—	—	—	1	—	—	—	1	
Glu	2	1	1	1	1	1	2	1	—	
Pro	1	—	—	—	—	—	1	1	—	
Gly	2	1	1	2	—	2	—	—	1	

Таблица I (продолжение)

Аминокислота	Пептиды									
	I-12-2-1, I-13-1-2 I-14-1-2	I-14-1- II-11-2	I-15-1	I-15-2- I-16-2	I-15-3	I-15-4	I-15-5	I-15-6	I-16-1	
Ala	—	—	—	—	—	1	—	1	—	
Val	1	1	1	—	1	—	3	1	—	
Cys(Cm)	—	—	—	—	—	—	—	—	—	
Met	1	—	1	—	—	—	—	—	—	
Ile	2	1	1	2	—	—	1	—	—	
Leu	1	—	—	—	—	—	1	4	—	
Tyr	—	—	—	—	1	—	—	—	—	
Phe	—	—	—	—	—	1	—	—	—	
His	—	—	1	—	—	—	—	—	1	
Lys	—	2	1	1	—	1	2	—	2	
Arg	1	—	—	1	1	—	—	1	—	
Trp	—	—	—	—	—	—	—	—	—	
N-Концевая аминокислота	Gly	Gly	Lys	Ile	Ser	Gly	Lys	Arg	Asp	
Число остатков	43	8	10	9	7	6	12	7	8	
Выход, %	23	24	6	33	16	22	30	4	4	

Аминокислота	Пептиды									
	I-17-1	I-17-2	I-18-1	I-18-2	I-19-1	I-20-1	I-20-2	I-21-1	I-21-2	I-22-1
Asp	—	—	1	—	1	2	—	1	1	1
Thr	1	—	1	—	1	1	1	—	—	—
Ser	—	—	—	1	—	1	2	—	—	—
Glu	1	3	1	1	—	—	—	3	—	1
Pro	1	—	1	—	—	—	—	—	1	1
Gly	2	3	2	—	—	1	1	—	—	1
Ala	—	—	1	—	—	—	1	1	1	—
Val	2	—	1	2	—	—	—	—	—	—
Cys(Cm)	—	—	—	—	—	—	—	—	—	—
Met	—	1	1	—	—	—	—	—	—	1
Ile	—	—	—	1	—	—	—	—	—	1
Leu	—	—	1	1	1	—	—	1	1	—
Tyr	—	—	—	—	1	—	1	—	—	—
Phe	—	1	—	—	—	1	—	—	—	—
His	—	—	—	—	—	1	—	—	—	—
Lys	2	—	1	—	1	2	—	3	1	1
Arg	—	1	1	1	—	—	1	—	1	1
Trp	—	—	—	—	—	—	—	—	—	—
N-Концевая аминокислота	Val	Gly	Arg	Arg	Asn	Phe	Ala	Lys	Arg	Arg
Число остатков	9	9	12	7	5	9	7	10	6	8
Выход, %	40	7	5	11	16	15	6	10	16	10

Аминокислота	Пептиды									
	I-22-2	II-1-1- III-2-3	II-1-2- III-3-2	II-2-1- III-6-2	II-2-2- III-3-3	II-3-1	II-3-2	II-4-1	II-4-2- III-1-4-1	
Asp	1	—	1	—	2	2	2	—	—	
Thr	—	2	1	—	1	1	1	—	—	
Ser	—	—	—	—	3	1	—	—	—	
Glu	—	2	1	2	—	2	5	3	2	
Pro	1	1	—	—	1	—	—	—	—	
Gly	—	—	1	1	2	1	1	1	—	
Ala	1	—	—	—	—	2	—	2	1	
Val	—	—	2	—	3	2	—	—	—	
Cys(Cm)	—	—	—	—	—	—	—	—	—	
Met	—	—	—	—	—	—	—	—	—	
Ile	—	—	—	—	1	1	—	1	1	
Leu	—	—	—	—	—	—	3	—	—	
Tyr	2	1	—	1	1	—	1	—	—	
Phe	—	—	—	—	—	1	—	—	—	

Таблица 1 (продолжение)

Аминокислота	Пептиды									
	I-22-2	II-1-1, III-2-3	II-1-2, III-3-2	II-2-1, III-6-2	II-2-2, III-3-3	II-3-1	II-3-2	II-4-1	II-4-2, III-14-1	
His	—	—	—	—	—	—	—	—	—	
Lys	1	—	—	—	—	1	1	2	1	
Arg	1	—	—	—	1	—	—	—	—	
Trp	—	—	—	—	—	—	—	—	—	
N-Концевая аминокислота	Leu	Thr	Gly	Leu	Ser	Thr	Leu	Gly	Ala	
Число остатков	7	6	6	4	15	15	43	9	5	
Выход, %	10	10	17	50	12	10	6.6	2,5	22	

Аминокислота	Пептиды									
	II-4-3, III-13-2	II-5-1 II-6-3	II-5-2, III-16-1, III-15-1	II-6-1, III-16-1, III-15-1	II-6-2	II-7-1, III-17-1	II-7-3, II-8-2	II-8-1, II-9-3	II-9-1	
Asp	1	—	1	—	1	1	1	3	1	
Thr	—	1	2	—	1	—	—	1	1	
Ser	1	—	—	—	1	—	1	2	—	
Glu	1	2	1	1	1	3	4	3	3	
Pro	—	1	1	—	—	—	1	—	—	
Gly	—	1	4	1	1	—	—	1	1	
Ala	2	—	—	1	—	—	—	1	—	
Val	—	—	3	—	1	—	—	2	1	
Cys(Cm)	—	—	—	—	1	—	—	—	—	
Met	—	—	—	—	—	—	—	—	—	
Ile	—	—	1	—	—	—	1	—	1	
Leu	2	1	1	—	1	1	—	2	—	
Tyr	—	—	—	—	—	—	—	—	—	
Phe	—	—	—	—	—	—	2	1	—	
His	—	—	—	—	—	—	—	—	—	
Lys	1	1	2	1	1	1	1	1	2	
Arg	—	—	—	—	1	—	—	1	—	
Trp	—	—	—	—	—	—	—	—	—	
N-Концевая аминокислота	Ala	Thr	Val	Gly	Asp	Lys	Ser	Leu	Gly	
Число остатков	8	7	16	4	10	6	11	18	10	
Выход, %	50	2	21	22	22	20	12	12.6	15	

Аминокислота	Пептиды									
	II-9-2, III-19-1	II-9-4, II-10-2	II-10-1	II-10-3, III-22-1	II-11-1	II-12-1	II-12-2	II-13-1, III-23-2, III-24-3	II-14-1	
Asp	—	3	2	1	2	—	2	1	2	
Thr	—	2	—	—	1	1	—	1	3	
Ser	—	1	—	1	1	1	—	—	—	
Glu	2	1	4	1	—	1	1	—	1	
Pro	1	1	—	—	—	—	—	—	1	
Gly	—	—	—	—	—	1	1	—	1	
Ala	1	1	—	—	1	—	1	—	—	
Val	—	2	1	1	1	1	2	—	3	
Cys(Cm)	—	—	—	—	—	1	—	—	—	
Met	—	—	—	—	—	—	—	—	—	
Ile	—	—	1	—	—	—	—	—	—	
Leu	—	3	1	2	—	1	1	—	—	
Tyr	—	—	—	—	—	—	—	—	4	
Phe	—	—	—	4	—	—	—	1	—	
His	—	—	—	—	—	—	—	—	—	
Lys	—	—	2	1	2	1	1	—	1	
Arg	1	2	—	—	—	1	1	—	1	
Trp	—	—	—	—	—	—	—	—	—	
N-Концевая аминокислота	Arg	Thr	Lys	Ser	Lys	Leu	Leu	Val	Thr	
Число остатков	5	16	8	8	7	9	10	7	14	
Выход, %	20	42	18	6	9,6	18	11	12	4	

Таблица 1 (продолжение)

Аминокислота	Пептиды							
	II-15-1, II-19-1, II-20-1	II-15-2, II-18-1, III-33-1	II-16-1, III-30-4, III-31-1	II-17-1	II-17-2	II-21-1, III-35-1	II-22-1, III-36-1	II-22-2
	Asp	2	1	2	1	—	—	2
Thr	—	—	2	—	2	—	—	2
Ser	1	—	—	—	—	—	—	1
Glu	4	2	2	1	1	1	1	2
Pro	—	—	—	—	1	—	—	1
Gly	—	—	—	4	1	—	—	4
Ala	1	—	—	2	—	—	—	—
Val	—	—	—	2	1	—	—	—
Cys(Cm)	—	—	—	—	—	—	—	—
Met	1	1	—	—	—	—	—	—
Ile	—	1	2	2	—	—	—	4
Leu	2	1	—	—	1	1	1	5
Tyr	—	—	—	2	2	—	—	1
Phe	—	—	1	—	1	—	—	—
His	—	—	1	—	—	1	—	—
Lys	3	1	—	2	1	4	2	4
Arg	—	1	1	—	1	—	—	2
Trp	—	—	—	—	—	—	—	—
N-Концевая аминокислота	Met	Ile	Asp	Tyr	Tyr	Leu	Lys	Leu
Число остатков	43	9	10	14	43	4	4	22
Выход, %	25	18	38	3	5	10	8	8

Аминокислота	Пептиды							
	II-23-1, III-37-2	II-23-2	II-23-3, III-37-3-1	II-24-1	II-24-2	II-24-3, II-25-2	II-24-4	II-25-1
Asp	—	4	—	1	1	2	2	4
Thr	—	—	—	—	2	4	—	—
Ser	—	1	—	—	—	—	1	—
Glu	1	1	4	1	2	—	2	2
Pro	—	—	—	—	3	2	2	—
Gly	—	2	—	—	1	1	1	—
Ala	1	—	1	1	—	1	—	1
Val	1	2	1	—	3	1	2	—
Cys(Cm)	—	—	—	—	1	—	—	—
Met	—	—	—	—	—	1	—	4
Ile	—	2	—	—	1	1	1	—
Leu	—	1	4	1	—	4	4	4
Tyr	—	—	—	—	1	—	1	—
Phe	—	—	—	—	—	4	1	—
His	—	1	—	—	2	—	—	—
Lys	1	—	1	2	—	1	1	3
Arg	1	3	1	1	2	1	1	—
Trp	—	—	—	—	—	—	—	—
N-Концевая аминокислота	Arg	Val	Val	Lys	Val	Asn	Phe	Met
Число остатков	5	17	6	7	19	14	19	9
Выход, %	48	24	60	49	18	21	15	5

Аминокислота	Пептиды							
	II-26-1, II-27-1, II-28-1, II-30-1	II-29-1, III-43-1, III-42-1	II-31-1	II-32-1	II-33-1	III-1-1	II-1-2	III-1-3
	Asp	—	—	—	2	1	1	2
Thr	1	—	—	—	—	—	—	—
Ser	—	—	2	—	2	2	3	4
Glu	2	4	2	1	2	1	2	—
Pro	3	—	—	1	—	—	1	4
Gly	1	1	1	—	—	1	—	2
Ala	—	1	1	—	—	1	—	—
Val	—	—	—	—	—	1	1	—
Cys(Cm)	—	—	—	—	—	—	—	—

Таблица 1 (продолжение)

Аминокислота	Пептиды							
	II-26-1, II-27-1, II-28-1, II-30-1	II-29-1, III-43-1 III-42-1	II-31-1	II-32-1	II-33-1	III-1-1	III-1-2	III-1-3
Met	2	—	—	—	1	—	—	—
Ile	1	4	1	—	—	4	1	2
Leu	—	2	3	3	3	4	1	1
Tyr	1	—	—	—	1	—	1	—
Phe	—	—	1	—	—	—	—	—
His	—	—	—	—	—	—	—	—
Lys	—	1	2	2	1	—	—	—
Arg	3	1	1	2	3	—	—	—
Trp	—	—	—	1	—	—	—	—
N-Концевая аминокислота	Ile	Lys	Leu	Lys	Leu	Asp	Val	Gly
Число остатков	14	9	14	12	17	7	12	9
Выход, %	40	45	45	15	3	22,5	12	23

Аминокислота	Пептиды								
	III-2-1, III-3-1	III-2-2	III-4-1	III-4-2	III-5-1	III-5-2	III-6-1	III-6-3	III-6-4
Asp	4	1	—	1	1	1	—	1	—
Thr	1	—	—	1	—	1	1	1	—
Ser	—	—	1	1	—	2	1	1	—
Glu	1	1	1	2	1	2	1	1	2
Pro	—	—	—	—	—	—	—	—	—
Gly	1	—	2	—	—	—	1	—	—
Ala	—	2	1	1	—	—	—	1	—
Val	—	—	1	1	—	—	—	—	—
Cys(Cm)	—	1	—	—	—	—	—	—	—
Met	—	1	—	—	—	—	—	1	1
Ile	—	1	2	—	—	1	—	—	2
Leu	2	1	—	1	—	—	—	—	—
Tyr	—	—	1	1	—	—	—	—	—
Phe	—	—	—	—	—	1	—	1	—
His	—	—	—	—	—	—	—	—	—
Lys	—	—	—	—	—	—	—	—	—
Arg	—	—	—	—	—	—	—	—	—
Trp	—	—	—	—	—	—	—	—	—
N-Концевая аминокислота	Leu	Leu	Ser	Leu	Asp	Leu	Ser	Thr	Leu
Число остатков	6	8	9	9	2	8	4	7	5
Выход, %	6	10	11	12	24	11	15	21	19

Аминокислота	Пептиды								
	III-7-1	III-7-2	III-8-1	III-8-2	III-8-3	III-9-1	III-9-2	III-10-1	III-10-2
Asp	2	1	—	—	—	—	—	—	—
Thr	2	—	—	—	—	—	—	—	—
Ser	—	1	—	—	—	—	—	—	—
Glu	—	—	1	2	1	1	1	1	2
Pro	—	—	—	—	—	—	1	—	—
Gly	—	—	—	—	1	—	4	—	2
Ala	—	—	1	—	—	1	—	—	—
Val	—	—	—	—	—	—	—	—	—
Cys(Cm)	—	—	—	—	—	—	—	—	—
Met	—	—	—	—	—	1	1	1	—
Ile	—	—	—	1	—	—	—	—	—
Leu	1	2	—	—	1	—	—	—	4
Tyr	—	—	—	—	—	—	1	—	4
Phe	—	—	—	—	—	—	—	—	—
His	—	—	—	—	—	—	—	—	—
Lys	—	—	—	—	—	—	—	—	—
Arg	—	—	—	—	—	—	—	—	—

Таблица 1 (продолжение)

Аминокислота	Пептиды								
	III-7-1	III-7-2	III-8-1	III-8-2	III-8-3	III-9-1	III-9-2	III-10-1	III-10-2
Trp	—	—	—	—	—	—	—	—	—
N-Концевая аминокислота	Thr	Leu	Ala	Ile	Leu	Met	Met	Met	Gly
Число остатков	6	4	2	3	3	3	5	2	6
Выход, %	5	46	4,9	6	4,5	20	18	36	43
Аминокислота	Пептиды								
	III-11-1	III-12	III-13-1	III-13-3	III-15-2	III-15-3	III-15-4	III-16-2, III-19-1	
Asp	—	1	1	2	—	1	1	—	—
Thr	—	—	1	—	—	—	—	—	—
Ser	1	1	—	—	—	—	1	—	—
Glu	1	—	—	—	3	1	1	1	1
Pro	—	—	—	—	—	—	1	—	—
Gly	—	—	1	—	—	1	1	—	—
Ala	—	1	—	—	—	1	—	—	—
Val	—	1	1	—	—	2	—	—	4
Cys(Cm)	—	1	—	—	—	—	—	—	—
Met	—	—	—	—	—	—	—	—	—
Ile	—	—	—	—	1	—	1	—	—
Leu	1	1	—	—	—	—	1	—	1
Tyr	—	—	—	—	—	1	1	—	—
Phe	1	—	—	—	—	—	—	—	—
His	—	—	—	—	—	—	1	—	—
Lys	—	—	1	1	1	1	—	—	—
Arg	—	1	—	—	—	—	—	—	—
Trp	—	—	—	—	—	—	—	—	—
N-Концевая аминокислота	Ser	Leu	Gly	Lys	Ile	Ala	Leu	Leu	
Число остатков	4	7	5	3	5	8	9	9	4
Выход, %	50	7	3	2	4	9	9	9	11,5
Аминокислота	Пептиды								
	III-16-3	III-17-2 III-18-1	III-20	III-21-1	III-21-2	III-23-1, III-24-2	III-24-1, III-25-1, III-26-1	III-25-2, III-26-2	
Asp	—	1	—	—	1	1	—	1	—
Thr	1	1	1	—	—	—	—	—	—
Ser	—	—	—	—	—	—	—	—	1
Glu	1	2	1	1	—	1	2	—	—
Pro	1	—	—	—	—	—	—	—	—
Gly	3	1	2	—	—	1	—	1	—
Ala	1	—	—	—	2	—	—	—	—
Val	—	3	—	—	2	1	2	—	—
Cys(Cm)	—	—	—	—	—	—	—	—	—
Met	—	—	—	—	—	—	—	—	—
Ile	—	—	—	1	—	—	—	—	—
Leu	2	—	—	—	—	—	—	—	2
Tyr	—	—	—	—	—	—	—	—	—
Phe	—	1	—	—	—	1	—	—	—
His	—	—	—	—	—	1	—	—	—
Lys	—	—	—	1	—	—	—	—	—
Arg	1	1	1	—	1	—	1	1	1
Trp	—	—	—	—	—	—	—	—	—
N-Концевая аминокислота	Ala	Val	Gly	Ile	Arg	Gly	Arg	Arg	
Число остатков	10	10	5	3	6	6	5	5	6
Выход, %	2,5	6	5,5	13	2,5	5	24	6,5	

Таблица 1 (окончание)

Аминокислота	Пептиды							
	III-26-3, III-27-2, III-28-1	III-27-1	III-29-1	III-29-2	III-29-3	III-30-2, III-37-1	III-31-2, III-32-1	III-32-2
Asp	—	—	1	—	—	—	1	3
Thr	—	—	—	—	—	—	—	—
Ser	—	1	1	—	—	1	4	1
Glu	1	1	1	1	1	2	2	1
Pro	—	1	—	—	—	—	1	—
Gly	—	1	1	1	—	—	1	—
Ala	1	—	—	—	—	4	2	—
Val	1	—	—	1	1	—	1	—
Cys(Cm)	—	—	—	—	—	—	—	—
Met	1	—	—	—	—	—	—	—
Ile	—	1	3	—	1	2	1	—
Leu	1	—	1	—	—	—	—	1
Tyr	—	1	—	—	—	4	1	2
Phe	—	—	—	1	1	—	2	—
His	—	1	—	1	—	1	—	—
Lys	—	—	—	—	1	—	—	—
Arg	1	—	1	—	—	—	4	1
Trp	—	—	—	—	—	—	—	—
N-Концевая аминокислота	Val	His	Ile	Gly	Lys	Ile	Ala	Asn
Число остатков	6	7	9	5	5	9	17	10
Выход, %	33	4	7	5	5	17	19	2,5

Аминокислота	Пептиды							
	III-33-2, III-34-1, IV-3	III-34-2	III-35-2, III-36-2	III-38-1 III-37	III-39-1	III-40, III-41-1	IV-1	IV-2
Asp	—	—	1	1	—	4	—	—
Thr	—	—	—	2	—	—	—	—
Ser	—	1	1	—	—	—	—	1
Glu	1	2	2	—	1	2	1	—
Pro	—	—	1	1	—	—	—	—
Gly	1	—	1	—	—	4	1	—
Ala	1	—	—	—	1	—	—	2
Val	—	—	2	1	—	3	—	—
Cys(Cm)	—	—	—	—	—	—	—	—
Met	—	—	—	—	—	—	—	—
Ile	—	1	—	—	—	—	—	—
Leu	—	—	2	—	1	1	1	—
Tyr	—	—	2	1	—	—	—	1
Phe	1	2	1	—	—	1	—	—
His	—	—	—	—	—	—	—	—
Lys	—	1	—	1	1	—	—	—
Arg	1	—	1	1	1	2	2	1
Trp	—	—	—	—	—	—	—	—
N-Концевая аминокислота	Arg	Ser	Leu	Thr	Lys	Asn	Arg	Ala
Число остатков	5	7	14	8	5	11	5	5
Выход, %	18	7	14	8	5	11	16	2,6

но из таблицы, в ряде случаев пептиды с одинаковым аминокислотным составом были выделены из различных объединенных фракций. Как правило, такое поведение пептидов связано с их неполным разделением при первоначальной гель-фильтрации или ионообменной хроматографии. Лишь в одном случае (пептиды II-15-1 и II-20-1) пептиды с одинаковым составом были обнаружены во фракциях, сравнительно далеко отстоящих друг от друга. Такое распределение пептидов, по-видимому, является результатом частичного дезамидирования остатков амидов дикарбоновых кислот.

Таблица 2

**Аминокислотная последовательность пептидов, полученных в результате гидролиза протеиназой из *Staphylococcus aureus***

Пептиды	Аминокислотная последовательность *	Местоположение пептида в цепи белка
I-1-2	Ala-Asp-Gly-Pro-Ser-Thr-Asp ↓ → ↓ → ↓ → ↓ → ↓ → ↓ →	784-790
I-2-1	Ala-Gln-Thr-Asn-Glu ↓ → ↓ → ↓	579-583
I-2-2	Val-Gly-Thr-Gly-Met-Glu ↓ → ↓ → ↓ → ↓ →	700-705
I-2-3	Ser-Leu-Val-Thr-Gln-Gln-Pro-Leu → → → → → → ↓ →	1252-1259
I-3-1	Gly-Ser-Gly-Ile-Leu ↓ → ↓ → ↓ →	416-420
I-4-1, I-7-4	Leu-Leu-Lys-Leu-Gly-Asp-Leu-Pro-(Thr, Ser, Gly, Glx, Ile, Arg, Leu, Tyr) ↓ → ↓ → ↓ → ↓ → ↓ → ↓ →	1198-1243
I-5-2, I-6-1	Gly-Arg-Val-Cys(Cm)-Pro-Ile-Glu-Thr-Pro-Glu ↓ → ↓ → ↓ → ↓ → ↓ → ↓ →	556-565
I-5-4	Lys-Ile-Thr-Gln-Gly-Asp-Asp-Leu-Ala-Pro-Gly-Val-Leu ↓ → ↓ → ↓ → ↓ → ↓ → ↓ → ↓ → ← ← A	1035-1047
I-7-1	Ser-Lys-Asp-Asp-Ile-Ile-Asp-Val-Met-Lys-Lys-Leu ↓ → ↓ → → → ↓ → ↓ → ↓ → ↓ →	421-432
I-7-3	Asp-Gly-Arg-Thr-Gly-Glu → ↓ → ↓ → ↓ → ↓ →	1214-1219
I-8-2	Ser-Ala-Ala-Val-Lys-Glu ↓ → ↓ → ↓ → ↓ →	499-504
I-9-1, I-10-1	Lys-Gln-Gln-Gln-Glu ↓ → ↓ → ↓ →	1133-1137
I-10-2	Ile-Asx-Ala-Lys-Pro-Ile ↓ → ↓ → ↓ → ↓ →	493-498
I-11-1, II-7-2	Leu-Ala-Cys(Cm)-Val-Ser-Arg-Asp-Thr-Lys-Leu-Gly-Pro- Glu-Glu ↓ → ↓ → ↓ → ↓ → ↓ → ↓ → ↓ →	836-849
I-11-2	Lys-Leu-Gly-Pro-(Glx, Glx) ↓ → ↓ → ↓ →	844-849
I-11-3	Cys(Cm)-Gln-Ile-Arg-Gly-Val-Thr-Tyr ↓ → ↓ → ↓ → ↓ → ↓ → ↓ →	85-92
I-11-4, I-12-1-2	Phe-Asp-Pro-Lys-Asp-Asn-Leu-Phe ↓ → ↓ → ↓ → ↓ →	188-195
I-12-1-1	Arg-Gln-Ala-Val-Pro-Thr ↓ → ↓ → ↓ →	687-692
I-12-2-1, I-13-1, I-14-2	Gly-Val-Pro-Ser-Arg-Met-Asx-Ile-(Gly, Glx, Ile, Leu, Glx) ↓ → ↓ → ↓ → ↓ → ↓ → ↓ →	1102-1114
I-14-1, II-11-2	Gly-Thr-Val-Lys-Asp-Ile-Lys-Glu ↓ → ↓ → ↓ → ↓ → ↓ →	412-419
I-15-1	Lys-Asx-Ile-Val-Asx-Gly-Asn-His-Gln-Met ↓ → ↓ → ↓ → ↓ → ↓ → ↓ → ← ← A	1306-1315
I-15-3	Ser-Arg-Asp-Gln-Val-Asp-Tyr ↓ → ↓ → → → ↓ →	646-652
I-15-4	Gly-Gly-Lys-Ala-Gln-Phe ↓ → ↓ → ↓ →	1260-1265
I-15-5	Lys-Asp-Asp-Val-Lys-Leu-Ile-Glu-Val-Pro-Val-Glu ↓ → ↓ → ↓ → ↓ → ↓ → ↓ →	279-290
I-15-6	Arg-Gln-Ala-Val-Pro-Thr-Leu ↓ → ↓ → ↓ →	687-693
I-16-1	Asp-Ser-Asp-Lys-Gly-Lys-Thr-His → ↓ → ↓ → ↓ → ↓ →	158-165
I-17-1	Val-Gly-Lys-Val-Thr-Pro-Lys-Gly-Glu ↓ → ↓ → ↓ → ↓ →	884-892

\* Здесь и далее стрелками показаны стадии деградации по методу Эдмана с идентификацией Pth-(→), Dns-(→), Pth- и Dns-(→), DABth- и Dns-(→) производных аминокислот; C-концевые аминокислоты, определенные с помощью карбоксипептидаз A, B и Y (←).

Таблица 2 (продолжение)

Пептид	Аминокислотная последовательность	Местоположение пептида в цепи белка
I-17-2	Gly-Gly-Gln-Arg-Phe-Gly-Glu-Met-Glu ↓ ↓ → ↓ ↓ → ↓ ↓ → ↓ ↓	1266–1274
I-18-1	Arg-Ala-Asp-Lys-(Pro, Leu, Val, Gly, Thr, Gly, Met, Glx) ↓ ↓ → ↓	694–705
I-18-2	Arg-Val-Ile-Val-Ser-Gln-Leu ↓ ↓ → ↓ → ↓ → ↓	143–149
I-19-1	Asn-Leu-Thr-Lys-Tyr → ↓ ↓ → ↓	752–756
I-20-1	Phe-Asp-Ser-Asp-Lys-Gly-Lys-Thr-His ↓ → ↓ → ↓ → ↓ → ↓ →	157–165
I-20-2	Ala-Arg-Ser-Thr-Gly-Ser-Tyr ↓ ↓ → ↓ → ↓ ↓ ← ← ← A	1245–1251
I-21-1	Lys-Gln-Ala-Lys-Lys-Asp-Leu-Ser-Glu-Glu ↓ → ↓ → ↓ → ↓ ↓ ← ← ← ← ← ← Y	954–963
I-21-2	Arg-Ala-Asp-Lys-Pro-Leu ↓ ↓ → ↓ → ↓ ↓	694–699
I-22-1	Arg-Ile-Gln-Pro-Gly-Asp-Lys-Met ↓ → ↓ → ↓ → ↓ ↓ ↓	1059–1066
I-22-2	Leu-Arg-Ala-Asx-Lys-Pro-Leu ↓ ↓ → ↓ → ↓ → ↓ ↓	693–699
II-1-4, III-2-3	Thr-Gln-Leu-Leu-Thr-Pro-Glu ↓ → ↓ → ↓ → ↓ ↓ ← ← ← Y	893–898
II-4-2, III-3-2	Gly-Val-Val-Thr-Asp-Glu ↓ ↓ → ↓ → ↓ ↓ ← ← Y	597–602
II-2-1, III-6-2	Leu-Glu-Asp-Glu ↓ ↓ ↓ ↓	1339–1342
II-3-1	Thr-Ala-Ser-Phe-Asp-Ile-Glu-Ala-Asn-(Gly, Lys, Val, Tyr, Val, Glx) ↓ ↓ → ↓ → ↓ → ↓ →	250–264
II-3-2	Leu-Gly-Leu-Thr-Asp-Glu-Glu-Lys-Glx-(Asx, Glx, Leu, Glx) ↓ ↓ → ↓ → ↓ → ↓ ↓	1000–1012
II-4-1	Gly-Ala-Lys-Glx-Ala-Glx-(Ile, Lys, Glx) ↓ ↓ → ↓ → ↓ ↓	1189–1197
II-4-2, III-14-1	Ala-Glu-Ile-Lys-Glu ↓ → ↓ → ↓	1193–1197
II-4-3, III-13-2	Ala-Ala-Leu-Ser-Lys-Leu-Asp-Glu ↓ ↓ → ↓ → ↓ → ↓	860–867
II-5-1	Thr-Lys-Leu-Gly-Pro-Glu-Glu ↓ ↓ → ↓ → ↓ → ↓	843–849
II-5-2, II-6-3	Val-Thr-Gly-Gly-Asp-Ile-Leu-Val-Gly-Lys-Val-Thr-Pro- (Lys, Gly, Glx) ↓ ↓ → ↓ → ↓ → ↓ → ↓ → ↓ → ↓ → ↓	877–892
II-6-1, III-16-1, III-15-1	Gly-Ala-Lys-Glu ↓ ↓ → ↓ ↓	1189–1192
II-6-2	Asp-Leu-Val-Thr-Cys(Cm)-Arg-Ser-Lys-Gly-Glu → → → → ↓ ↓ → ↓ ↓ → ↓ ↓	632–644
II-7-1, III-17-1	Lys-Gln-Asn-Gln-Leu-Glu → → → → → ↓ ↓	1007–1012
II-8-1, II-9-3	Leu-Gly-Ala-Asp-Val-Arg-Gly-Lys-Val-Asx-Leu-(Ser, Thr, Phe, Ser, Asx, Glx, Glx) ↓ ↓ → ↓ → ↓ → ↓ → ↓ → ↓ → ↓	1151–1168
II-9-1	Gly-Thr-Val-Lys-Asp-Ile-Lys-Glx-Glx-Glu ↓ ↓ → ↓ → ↓ → ↓ → ↓ → ↓	112–121
II-9-2, III-19-1	Arg-Glu-Ala-Pro-Glu ↓ → ↓ → ↓	107–111
II-9-4, II-10-2	Thr-Leu-Arg-Val-Asp-Pro-Thr-Asx-Asx-Leu-Ser-Ala-Leu- Val-Glu ↓ ↓ → ↓ → ↓ → ↓ → ↓ → ↓ → ↓	350–365
II-10-1	Lys-Asp-Asp-Val-Lys-Leu-Ile-Glu ↓ → → ↓ ↓ ↓ ↓	279–286
II-10-3, III-22-1	Ser-Phe-Asx-Val-Leu-Leu-Lys-Glu ↓ ↓ → ↓ → ↓ → ↓ →	1322–1329

Таблица 2 (продолжение)

Пептид	Аминокислотная последовательность	Местоположение пептида в цепи белка
II-11-1	Lys-Ala-Ser-Asp-Val-Lys-Asp	909–915
II-12-1	Leu-Val-Thr-Cys(Cm)-Arg-Ser-Lys-Gly-Glu	633–641
II-12-2	Leu-Gly-Ala-Asp-Val-Arg-Gln-Lys-Val-Asp	1151–1160
	← ← A	
II-13-1, III-23-2, III-24-3	Val-Gln-Val-Phe-Thr-Arg-Asp	931–937
II-14-1	Thr-Pro-Tyr-Arg-Lys-Val-Thr-Asx-Gly-Val-Val- (Thr, Asx, Glx)	589–602
II-15-1, II-19-1, II-20-1	Met-Gln-Leu-Lys-Gln-Ala-Lys-Lys-Asp-Leu-Ser-Glu-Glu	951–963
	← ← ← ← ← Y	
II-15-2, II-18-4, III-33-1	Ile-Arg-Asp-Asn-Lys-Leu-Gln-Met-Glu	232–240
II-17-2	Tyr-Gly-Phe-Leu-Glx-Thr-Pro-(Tyr, Arg, Lys, Val, Thr, Asx)	584–596
II-21-1, III-35-1	Leu-Lys-His-Glu	1021–1024
II-22-1, III-36-1	Lys-Lys-Leu-Glu	1027–1030
II-22-2	Leu-Leu-Lys-Leu-Gly-Asp-(Leu, Pro, Thr, Ser, Gly, Glx, Ile, Arg, Leu, Tyr, Asx, Gly, Arg, Thr, Gly, Glx)	1198–1219
II-23-1, III-37-2	Arg-Ala-Val-Lys-Glu	473–477
II-23-3, III-37-3-1	Val-Ala-Lys-Leu-Arg-Glu	1138–1143
II-24-1	Lys-Asp-Lys-Arg-Ala-Leu-Glu	941–947
II-24-2	Val-Arg-Asx-Val-His-Pro-Thr-His-Tyr-Gly-Arg- (Val, Cys(Cm), Pro, Ile, Glx, Thr, Pro, Glx)	547–565
II-24-3, II-25-2	Asn-Leu-Arg-Lys-Gly-Met-Pro-Ile-Ala-Thr-Pro-Val-Phe-Asp	1175–1188
II-25-1	Met-Glx-Leu-Lys-Glx-Ala-Lys-Lys-Asp	951–959
II-26-1, II-27-1, II-28-1, II-30-1	Ile-Tyr-Arg-Met-Met-Arg-Pro-Gly-Glu-Pro-Pro-Thr-Arg-Glu	366–379
	← ← ← Y	
II-29-1, III-43-1, III-42-1	Lys-Leu-Leu-Arg-Ala-Ile-Phe-Gly-Glu	900–908
II-32-1	Lys-Leu-Asp-Lys-Leu-Pro-Arg-Asp-Arg-Trp-Leu-Glu	988–999
	←	
II-33-1	Leu-Ser-Ala-Val-Gly-Arg-(Met, Lys, Phe, Asx, Arg, Ser, Leu, Leu, Arg, Glx, Glx)	397–413
III-1-1	Asp-Ser-Ile-Leu-Val-Ser-Glu	814–820
III-1-2	Val-Phe-Pro-Ile-Gln-Ser-Tyr-Ser-Gly-Asx-Ser-Glu	56–67
III-1-3	Gly-Pro-Asn-Ile-Gly-Leu-Ile-Asn-Ser	566–574
III-2-1, III-3-1	Leu-Gly-Leu-Thr-Asp-Glu	1000–1006
	← ← ← Y	
III-2-2	Leu-Ile-Cys(Cm)-Ala-Ala-Asn-Met-Glu	309–316

Таблица 2 (продолжение)

Пептид	Аминокислотная последовательность	Местоположение пептида в цепи белка
III-4-1	Ser-Gly-Ile-Val-Tyr-Ile-Gly-Ala-Glu ↓ ↓ ↓ ↓ ↓ ↓ ↓ ↓ ↓ ↓	868-876
III-4-2	Leu-Ser-Val-Tyr-Ala-Gln-(Thr, Asx, Glx) ↓ ↓ ↓ ↓ ↓ ↓ ↓ ↓ ↓ ↓	575-583
III-5-1	Asp-Glu ↑ ↓	739-740
III-5-2	Leu-Ser-Thr-Phe-Ser-Asp-Glu-Glu ↓ ↓ ↓ ↓ ↓ ↓ ↓ ↓ ↓ ↓ ← ← ← ← ← Y	1161-1168
III-6-1	Ser-Thr-Gly-Glu ↓ ↓ ↓ ↓	305-308
III-6-3	Thr-Ala-Ser-Phe-Asp-Ile-Glu ↓ ↓ ↓ ↓ ↓ ↓ ↓ ↓ ← ← ← ← Y	250-256
III-6-4	Leu-Gln-Ile-Leu-Glu → → ↓ ↓ ↓	964-968
III-7-1	Thr-Leu-Phe-Thr-Asn-Asp ↓ ↓ ↓ ↓ ↓ ↓ ← ← ← Y	335-340
III-7-2	Leu-Ser-Leu-Asp ↓ ↓ ↓ ↓	317-320
III-8-1	Ala-Glu ↓ ↓	986-987, 4193-4194
III-8-2	Ile-Glu-Glu ↓ ↓ ↓	948-950
III-8-3	Leu-Gly-Glu ↓ ↓ ↓	791-793
III-9-1	Met-Ala-Glu ↓ ↓ ↓	459-461
III-9-2	Met-Tyr-Pro-Gly-Glu ↓ ↓ ↓ ↓ ↓	741-745
III-10-1	Met-Glu ↓ ↓	1273-1274
III-10-2	Gly-Gln-Tyr-Gly-Leu-Glu ↓ → ↓ ↓ ↓ ↓	45-50
III-11-1	Ser-Leu-Phe-Glu ↓ ↓ ↓ ↓	383-386
III-12	Leu-Ala-Cys(Cm)-Val-Ser-Arg-Asp ↓ ↓ ↓ ↓ ↓ ↓ ↓ ↓	836-842
III-13-1	Gly-Thr-Val-Lys-Asp ↓ ↓ ↓ ↓ ↓	112-116
III-13-3	Lys-Asp-Asp ↓ ↓ ↓	279-281
III-15-2	Ile-Lys-Glu-Gln-Glu ↓ ↓ → → → ↓	117-121
III-15-3	Ala-Asx-Gly-Lys-Val-Tyr-Val-Glu ↓ ↓ ↓ ↓ ↓ ↓ ↓ ↓	257-264
III-15-4	Leu-Asp-His-Gly-Pro-Tyr-Ile-Ser-Glu → ↓ ↓ ↓ ↓ ↓ ↓ ↓	341-349
III-16-2, III-19-1	Leu-Val-Pro-Glu ↓ ↓ ↓ ↓	241-244
III-16-3	Ala-Leu-Gly-Pro-Gly-Gly-Leu-Thr-Arg-Glu ↓ ↓ ↓ ↓ ↓ ↓ ↓ ↓	532-541
III-17-2, III-18-1	Val-Gln-Val-Phe-Thr-Arg-Asp-Gly-Val-Glu ↓ → ↓ ↓ ↓ → ↓ ↓	931-940
III-20	Gly-Arg-Thr-Gly-Glu ↓ ↓ ↓ ↓ ↓	1215-1219
III-21-1	Ile-Lys-Glu ↓ ↓ ↓	117-119, 4195-4197
III-21-2	Arg-Ala-Val-Ala-Val-Asp ↓ ↓ ↓ ↓ ↓ ↓ ↓	706-711
III-23-1, III-24-2	Gly-His-Phe-Val-Glu-Asp ↓ ↓ ↓ ↓ ↓ ↓ ← ← ← A	627-632
III-24-1, III-25-1, III-26-1	Arg-Val-Val-Gln-Glu ↓ ↓ ↓ ↓ ← ← ← Y	821-825
III-25-2, III-26-2	Arg-Leu-Ser-Leu-Gly-Asp ↓ ↓ ↓ ↓ ↓ ↓	478-483

Таблица 2 (окончание)

Пептид	Аминокислотная последовательность	Местоположение пептида в цепи белка
III-26-3, III-27-2, III-28-1 III-27-1	Val-Met-Arg-Leu-Ala-Glu ↓ ↓ ↓ ↓ ↓ ↓	1169-1174
III-29-1	His-Gly-Pro-Tyr-Ile-Ser-Glu ↓ ↓ ↓ ↓ ↓ ↓	343-349
III-29-1	Ile-Arg-Ser-Leu-Gly-Ile-Asn-Ile-Glu ↓ ↓ ↓ ↓ ↓ ↓ ↔ ↔ ↔ ↔ ↔ ↔	1330-1338
III-29-2	Gly-His-Phe-Val-Glu ↓ ↓ ↓ ↓ ↓	627-631
III-29-3	Lys-Val-Ile-Phe-Glu ↓ ↓ ↓ ↓ ↓ ↔ ↔ ↔ Y	227-231
III-30-2, III-37-1	Ile-His-Tyr-Leu-Ser-Ala-Ile-Glu-Glu ↓ ↓ ↓ ↓ ↓ ↓ → → ↓	603-611
III-32-1, III-31-2	Ala-Ala-Phe-Arg-Ser-Val-Phe-Pro-Ile ↓ ↓ ↓ ↓ ↓ ↓ ↓ ↓ Glx-Ser-Tyr-Ser-Gly-Asn-Ser-Glu ↓ ↓ ↓ ↓ ↓ ↓ ↓ ↓ ↔ ↔ ↔ ↔ ↔ ↔ ↔	51-67
III-32-2	Asn-Leu-Phe-Phe-Ser-Glu-Asp-Arg-Tyr-Asp ⇒ ⇒ ⇒ ⇒ ⇒ ↓ ⇒ ⇒ ⇒ ↓ ⇒ ⇒	387-396
III-33-2, III-34-1, IV-3	Arg-Ala-Gly-Phe-Glu ↓ ↓ → ↓ ↓	542-546
III-34-2	Ser-Phe-Gln-Lys-Phe-Ile-Glu ↓ ↓ → ↓ ↓ ↓ ↔ ↔ ↔ Y	34-40
III-35-2, III-36-2	Leu-Gln-Tyr-Val-Ser-Tyr-Arg-Leu-Gly-Glx-(Pro, Val, Phe, Asx) ↓ ↓ → ↓ ↓ ↓ ↓ ↓ ↓ ↓ ↓ ↓	68-81
III-38-1-1	Thr-Pro-Tyr-Arg-Lys-Val-Thr-Asp ↓ ↓ ↓ ↓ ↓ ↓ ↓ ↓	589-596
III-39-1	Lys-Arg-Ala-Leu-Glu ↓ ↓ ↓ ↓	943-947
III-41-1, III-40	Asn-Gln-Phe-Arg-Val-Gly-Leu-Val-Arg-Val-Glu → → ↓ ↓ ↓ ↓ ↓ ↓ ↓ ↓ ↓ ↓ ↔ ↔ ↔ ↔ ↔ ↔ ↔ ↔ ↔	462-472
IV-1	Arg-Leu-Arg-Gly-Glu ↓ ↓ ↓ ↓ ↓	245-249
IV-2	Ala-Ala-Phe-Arg-Ser ↓ ↓ ↓ ↓ ↓	51-55

Для определения N-концевой аминокислотной последовательности пептидов был использован метод Эдмана с идентификацией аминокислот в виде 1-диметиламинонафталин-5-сульфонильных (Dns) производных, фенилтиогидантонов (Pth) и 4-N,N-диметиламиноазобензол-4'-тиогидантонов (DABth) аминокислот.

C-Концевые аминокислотные последовательности пептидов определялись с помощью карбоксипептидаз A, B и Y.

Аминокислотные последовательности 133 пептидов установлены только с использованием деградации по методу Эдмана и с помощью карбоксипептидаз. Результаты их анализа представлены в табл. 2.

Для установления структуры ряда пептидов применялись дополнительные гидролизы трипсином, химотрипсином, термолизином или бромцианом. В шести случаях удалось исключить стадию разделения и очистки полученных пептидных фрагментов — определение аминокислотной последовательности проводилось на смеси компонентов (табл. 3).

Структура остальных пептидов определялась как описано ниже.

*Пептид I-1-1* (757-778) Thr-Arg-Ser-Asn-Gln-Asx-Thr-Gly(Cm)-Ile-Asn-Gln-Met-Pro-Cys(Cm)-Val-Ser-Leu-Gly-Glu-Pro-Val-Clu. Данные по определению аминокислотной последовательности пептида суммированы в табл. 4. Деградацией пептида по методу Эдмана была установлена последовательность 10 аминокислотных остатков. Для установления полной

Таблица 3

Пептиды, структура которых определялась с помощью дополнительных ферментативных гидролизов

Анализируемый пептид	Результаты анализа
I-15-2 I-16-2 (433—441) *	Ile-Asp-Ile-Arg-Asx-Gly-Lys- → → → → → Ile-Asp-Ile-Arg → → → → → Asn-Gly-Lys-Gly-Glu
Смесь триптических пептидов	
Строение	Ile-Asp-Ile-Arg-Asn-Gly-Lys-Gly-Glu
II-7-3, II-8-2 (34—44)	Ser-Phe-Gln-Lys-Phe-Ile-Glu-Gln- → → → → → → → Ser-Phe-Gln-Lys → → → → → → → Phe-Ile-Glu-Gln-Asp-Pro-Glu
Смесь триптических пептидов	Ser-Phe-Gln-Lys-Phe-Ile-Gln-Glu-Asp-Pro-Glu
Строение	
II-16-1, III-30-1,	Asp-Arg-Phe-Thr-Thr-Ile-His- → → → → → → → Asp-Arg-Phe-Thr-Thr
III-31-1 (826—836)	Ile-His-Ile-Gln-Glu
Смесь термолитических цептидов	Asp-Arg-Phe-Thr-Thr-Ile-His-Ile-Gln-Glu
Строение	Tyr-Ile-Ala-Gly-Lys-Val-Val-Ala-Lys-Asp-Tyr- → → → → → → → → → Tyr-Ile-Ala-Gly-Lys → → → → → → → → → Val-Val-Ala-Lys
II-17-1 (291—304)	Asp-Tyr-Ile-Asx-Glu
Смесь триптических пептидов	→ → → → → → → → → Tyr-Ile-Ala-Gly-Lys-Val-Val-Ala-Lys-Asp-Tyr-Ile-Asx-Glu
Строение	

Таблица 3 (продолжение)

Анализируемый пептид	Результаты анализа
II-24-4 (15—33) Смесь химотриптических пептидов	Phe-Gly-Lys-Arg-Pro-Glx-Val-Leu-Asp-Val-Pro-Tyr-Leu- Phe-Gly-Lys-Arg-Pro-Glx-Val-Leu-Asp-Val-Pro-Tyr Leu-Leu-Ser-Ile-Glx-Leu-Asp Phe-Gly-Lys-Arg-Pro-Glx-Val-Leu-Asp-Pro-Tyr-Leu-Gly-Glx-Leu-Asp
Строение	
II-34-1 (321—334) Смесь триптигических пептидов	Leu-Ala-Lys-Leu-Ser-Gln-Ser-Gly-His-Lys-Arg- Leu-Leu-Ala-Lys Leu-Ser-Gln-Ser-Gly-His-Lys Leu-Leu-Ala-Lys-Leu-Ser-Gln-Ser-Gly-His-Lys-Arg-Ile-Glu
Строение	
В скобках указано местоположение пептида в полипептидной цепи белка.	
Аминокислотная последовательность пептида I-1-1	
Анализируемый пептид	Результаты анализа
I-1-1 Смесь бромциановых пептидов	Thr-Arg-Ser-Asn-Gln-Asx-Thr-Cys(Cm)-Ile- Thr-Arg-Ser-Asn-Gln-Asx-Thr-Cys(Cm)-Ile-Asx-Glx-Hse Pro-Cys(Cm)-Val-Ser-Leu-Gly-Glx-Pro-Val-Glu
Th-1	Ile-Asn-Gln-Met-Pro-Cys(Cm)
Th-2	Val-Ser
Th-3	Leu-Gly-Glu-Pro-Val-Glu
Th-4	Thr-Arg-Ser-Asn-Gln-Asx-Thr-Cys(Cm)-Ile-Asn-Gln-Met-Pro-Cys(Cm)-Val-Ser-Leu-Gly-Glu-Pro-Val-Glu

Таблица 5

## Аминокислотная последовательность пептида I-5-1

Анализируемый пептид	Результаты анализа
I-5-1	Lys-Asn-Ile-Val-Asx-Gly-Asx-His-Glx-Met-Glx-
B-1	$\xrightarrow{\quad}$
B-2	
B-3	Glx-Pro-Gly-Hse
Строение	Pro-Glu Lys-Asn-Ile-Val-Asx-Gly-Asx-His-Glx-Met-Glx-Pro-Gly-Met-Pro-Glu

Таблица 6

## Аминокислотная последовательность пептида II-23-2

Анализируемый пептид	Результаты анализа
II-23-2	Val-Asp-Asp-Ile-Asp-His-Leu-Gly-
Th-1	$\xrightarrow{\quad}$
Th-2	Val-Asp-Asp-Ile-Asp-His Leu-Gly-Asn-Arg-Arg
Th-3	$\xrightarrow{\quad}$
Строение	Leu-Arg-Ser-Val-Gly-Glu Val-Asp-Asp-Ile-Asp-His-Leu-Gly-Asn-Arg-Arg-Ile-Arg-Ser-Val-Gly-Glu

структуре пептид I-4-1 был гидролизован бромцианом. Образовавшуюся смесь двух фрагментов анализировали по методу Эдмана с идентификацией Dns-производных, что позволило определить С-концевую последовательность пептида I-4-1. Из термолитического гидролизата пептида I-4-1 с помощью хроматографии в тонком слое целлюлозы было выделено четыре пептида: Th-1, Th-2, Th-3 и Th-4. Для пептида Th-2 была установлена полная структура. Полученные данные позволили реконструировать аминокислотную последовательность пептида I-4-1.

*Пептид I-5-1 (I-7-2, I-8-1) (1306—1321) Lys-Asn-Ile-Val-Asx-Gly-Asx-His-Glx-Met-Glx-Pro-Gly-Met-Pro-Glu.* После определения N-концевой аминокислотной последовательности (табл. 5) пептид был расщеплен бромцианом в стандартных условиях и из гидролизата методом хроматографии в тонком слое выделено три пептида. В результате определения их структуры было установлено, что пептид B-1 является N-концевым, пептид B-3, не содержащий остатка гомосерина,— С-концевым фрагментом пептида I-5-1, а пептид B-2 расположен между ними.

*Пептид I-5-3 (919—930) Arg-Val-Pro-Asn-Gly-Val-Ser-Gly-Thr-Val-Ile-Asp.* С помощью деградации пептида по методу Эдмана была найдена N-концевая аминокислотная последовательность. Пептид был подвергнут термолитическому гидролизу и полученные фрагменты разделялись электрофорезом в тонком слое целлюлозы. Установлены следующие аминокислотные последовательности: Arg-Val-Pro-Asn-Gly (для Th-1), Val-Ser-Gly-Thr (для Th-2), Val-Ile-Asp (для Th-3), в результате чего была выяснена структура пептида I-5-3.

*Пептид II-2-2 (II-3-3) (916—930) Ser-Ser-Leu-Arg-Val-Pro-Asx-Gly-Val-Ser-(Gly, Thr, Val, Ile, Asx).* При триптическом гидролизе пептида II-2-2 образовалась смесь двух пептидов. Анализ полученной смеси позволил установить N-концевую последовательность С-концевого фрагмента: Val-Pro-Asx-Gly-Val-Ser. Данные аминокислотного состава (табл. 4) и

N-концевой последовательности пептидов II-2-2 и I-5-3 показывают, что пептид II-2-2 на три аминокислотных остатка длиннее пептида I-5-3. Следовательно, пептид I-5-3 образовался в результате гидролиза химотрипсином связи Leu-Arg в пептиде II-2-2.

*Пептид II-23-2 (442–458) Val-Asp-Asp-Ile-Asp-His-Leu-Gly-Asn-Arg-Arg-Ile-Arg-Ser-Val-Gly-Glu.* Последовательность определения структуры пептида приведена в табл. 6. После определения N-концевой последовательности пептид подвергался гидролизу термолизином. Полученные фрагменты разделяли с помощью электрофореза в тонком слое целлюлозы при pH 6,4. Аминокислотная последовательность фрагмента Th-1 показала, что он соответствует N-концевой части пептида, пептид Th-3 представляет собой среднюю часть молекулы, а пептид Th-3 — C-концевой участок пептида II-23-2.

Расположение изученных в настоящей работе пептидов в полипептидной цепи  $\beta$ -субъединицы приведено на рис. 5 [3].

$\beta$ -Субъединица, содержащая в своем составе большое число остатков дикарбоновых аминокислот (Glu-122, Asp-91) [3], представляет собой удобный объект для детального изучения специфичности действия протеиназы из *St. aureus*. В соответствии с ее ранее описанной специфичностью при гидролизе  $\beta$ -субъединицы расщепилось большинство связей, образованных  $\alpha$ -карбоксильными группами остатков глутаминовой кислоты.

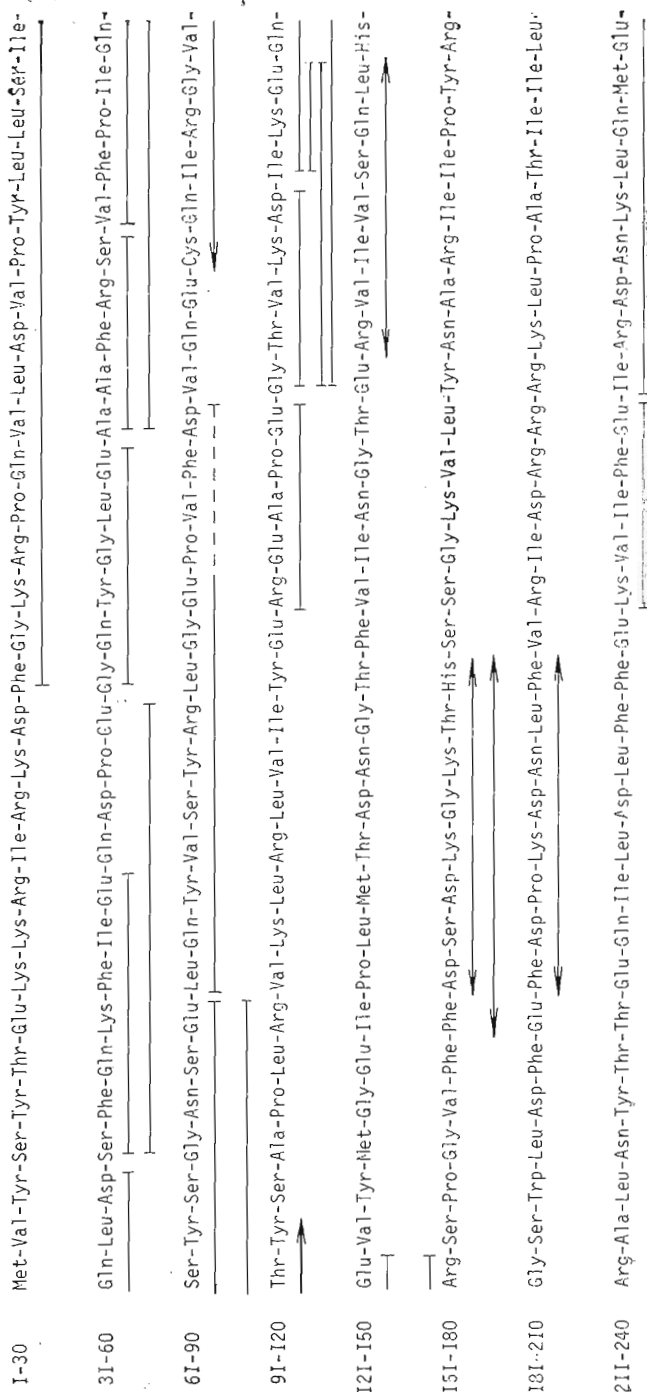
Как сообщалось ранее [6], связи типа Glu-Glu и Glu-Asp сравнительно устойчивы к действию этой протеиназы. Нам было выделено 12 пептидов, имеющих в своем составе последовательность Glu-Glu. Тем не менее в одном случае наблюдалось расщепление этой связи (остатки 898–899). Связь Glu-Asp оказалась в  $\beta$ -субъединице несколько менее стабильной. Только в двух случаях (остатки 392–393, 1341–1342) эта связь была устойчива к гидролизу, в результате чего были получены пептиды II-2-1 и III-32-2, содержащие последовательность Glu-Asp. В остальных же случаях наблюдался либо частичный (631–632), либо полный гидролиз этой связи (738–739, 813–814, 825–826).

Весьма устойчивой к действию протеиназы из *St. aureus* оказалась связь Glu-Pro, присутствующая в пептидах I-1-1 (757–778), I-5-1 (1306–1321), II-26-1 (366–379), III-35-2 (68–81).

На основании структурных исследований  $\alpha$ -субъединицы [7] было сделано предположение об устойчивости к гидролизу протеиназой из *St. aureus* связей, образованных остатками глутаминовой кислоты в последовательности Glu-X-Pro. В случае  $\beta$ -субъединицы было обнаружено пять участков, содержащих эту последовательность. Как показал анализ выделенных пептидов, устойчивость связей Glu-X-Pro не является абсолютной, как это имело место для связей Glu-Pro. Только в двух случаях в  $\beta$ -субъединице не наблюдалось гидролиза по этим связям (пептид II-9-2 (107–111) и пептид I-5-2 (556–565)). В двух положениях произошло частичное расщепление, вследствие чего наряду с пептидами I-15-5 (279–290) и II-17-2 (584–596) были выделены пептиды II-10-1 (279–286), II-14-1 (589–602) и III-38-4-1 (589–596). В последовательности Pro-Glu-Gly-Pro (564–567) наблюдалось полное расщепление вышеупомянутой связи.

Установление первичной структуры выделенных пептидов позволило также детально проверить гипотезу Буттона [8] о том, что протеиназа из *St. aureus* с меньшей скоростью гидролизует связи, образованные остатками глутаминовой кислоты, находящимися в последовательности Glu-X-Glu-Y. В  $\beta$ -субъединице было обнаружено восемь участков, содержащих данные последовательности (остатки 119–122, 413–416, 738–741, 985–988, 1024–1027, 1192–1195, 1272–1275, 1338–1341). Как правило, и связь Glu-X, и связь Glu-Y расщеплялись полностью. Лишь в трех случаях наблюдался частичный гидролиз связи типа Glu-X (остатки 119–120, 1192–1193 и 1272–1273) и в одном — связи типа Glu-Y (1194–1195). Особый интерес представляет C-концевой участок молекулы  $\beta$ -субъединицы, содержащей последовательность Glu-Leu-Glu-Asp-Glu (остатки 1338–1342). В этом фрагменте расщеплялась только связь Glu-Leu.

Рис. 5. Расположение цептидов, полученных в результате гидролиза  $\beta$ -субъединицы протеиназы из *St. aureus* в полипептидной цели белка.



241-270 Leu-Val-Pro-Glu-Arg-Leu-Arg-Gly-Glu-Thr-Ala-Ser-Phe-Asp-Ile-Glu-Ala-Lys-Gly-Lys-Val-Tyr-Val-Glu-Lys-Gly-Lys-Arg-Arg-Gly-Asp-Ile-Thr  
 271-300 Ala-Arg-His-Ile-Arg-Gln-leu-Glu-Lys-Asp-Val-Lys-Leu-Ile-Glu-Val-Pro-Val-Glu-Tyr-Ile-Ala-Gly-Lys-Val-Ala-Lys-Asp  
 301-330 Tyr-Ile-Asp-Glu-Ser-Thr-Gly-Glu-Leu-Ile-Cys-Ala-Asn-Met-Glu-Leu-Ser-Leu-Asp-Leu-Leu-Ala-Lys-Ser-Gln-Ser-Gly-His  
 331-360 Lys-Arg-Ile-Glu-Thr-Asn-Asp-Leu-Asp-His-Gly-Pro-Tyr-Ile-Ser-Glu-Thr-Leu-Arg-Val-Asp-Pro-Thr-Asn-Asp-Arg-Leu  
 361-390 Ser-Ala-Leu-Val-Glu-Ile-Tyr-Arg-Net-Met-Arg-Pro-Gly-Glu-Pro-Pro-Thr-Arg-Glu-Ala-Ala-Glu-Ser-Leu-Phe-Glu-Asn-Leu-Phe-Phe  
 391-420 Ser-Glu-Asp-Arg-Tyr-Asp-Leu-Ser-Ala-Val-Gly-Arg-Met-Lys-Phe-Asn-Arg-Ser-Leu-Arg-Glu-Ile-Glu-Gly-Ser-Gly-Ile-Leu  
 421-450 Ser-Lys-Asp-Asp-Ile-Ile-Asp-Val-Met-Lys-Lys-Leu-Ile-Asp-Ile-Arg-Asn-Gly-Lys-Gly-Glu-Val-Asp-Asp-Ile-Asp-His-Leu-Gly-Asn  
 451-480 Arg-Arg-Ile-Arg-Ser-Val-Gly-Glu-Met-Ala-Glu-Asn-Gin-Phe-Arg-Val-Gly-leu-Val-Arg-Val-Glu-Arg-Ala-Val-Lys-Glu-Arg-Leu-Ser

48I-510 Leu-Gly-Asp-Leu-Asp-Thr-Leu-Met-Pro-Gln-Asp-Ile-Hsn-Ala-Lys-Pro-Ile-Ser-Ala-Ala-Val-Lys-Glu-Phe-Phe-Cly-Ser-Ser-Gln-  
 51I-540 Leu-Ser-Gln-Phe-Met-Val-Gln-Asn-Asn-Pro-Leu-Ser-Glu-Ile-Thr-His-Lys-Arg-Arg-Ile-Ser-Ala-Leu-Gly-Pro-Gly-Gly-Ter-Arg-  
 54I-570 Glu-Arg-Ala-Gly-Phe-Glu-Val-Arg-Asp-Val-His-Pro-Thr-His-Tyr-Gly-Arg-Val-Cys-Pro-Glu-Gly-Pro-Gln-Asn-Ile-Gly-  
 57I-600 Leu-Ile-Asn-Ser-Leu-Ser-Val-Tyr-Ala-Gln-Thr-Asn-Glu-Tyr-Gly-Phe-Leu-Glu-Thr-Pro-Tyr-Arg-Lys-Val-Thr-Asp-Gly-Val-Val-Thr-  
 60I-630 Asp-Glu-Ile-His-Tyr-Leu-Ser-Ala-Ile-Glu-Gly-Asn-Tyr-Val-Ile-Ala-Gln-Ala-Asn-Ser-Asn-Leu-Asp-Glu-Gly-His-Asp-Val-  
 63I-660 Glu-Asp-Leu-Val-Thr-Gly-Arg-Ser-Lys-Gly-Glu-Ser-Ser-Leu-Phe-Ser-Arg-Asp-Gln-Val-Asp-Tyr-Met-Asp-Ser-Thr-Gln-Gln-Val-  
 66I-690 Val-Ser-Val-Gly-Ala-Ser-Leu-Ile-Pro-Phe-Leu-Glu-His-Asp-Asp-Ala-Asn-Arg-Ala-Leu-Met-Gly-Ala-Asn-Met-Gln-Arg-Gln-Ala-Val-  
 69I-720 Pro-Thr-Leu-Arg-Ala-Asp-Asp-Lys-Pro-Leu-Val-Gly-Met-Glu-Arg-Ala-Val-Ala-Val-Asp-Ser-Gly-Val-Thr-Ala-Val-Ala-Lys-Arg-

721-750 Gly-Gly-Val-Val-Gln-Tyr-Val-Asp-Ala-Ser-Arg-Ile-Val-Ile-Lys-Val-Asn-Glu-Asp-Glu-His-Tyr-Pro-Gly-Glu-Ala-Gly-Ile-Asp-Ile-  
 751-780 Tyr-Asn-Leu-Thr-Lys-Tyr-Thr-Arg-Ser-Asn-Gln-Asn-Thr-Cys-Ile-Asn-Met-Pro-Cys-Val-Ser-Leu-Gly-Glu-Pro-Val-Glu-Arg-Gly,  
 781-810 Asp-Val-Leu-Ala-Asp-Gly-Pro-Ser-Thr-Asp-Leu-Gly-Glu-Leu-Ala-Leu-Gly-Gln-Asn-Met-Arg-Val-Ala-Phe-Met-Pro-Trp-Asn-Gly-Tyr-  
 811-840 Asn-Phe-Glu-Asp-Ser-Ile-Leu-Val-Ser-Gly-Arg-Val-Val-Gln-Glu-Asp-Arg-Phe-Thr-Thr-His-Ile-Gln-Glu-Leu-Ala-Cys-Ser-Val-Ser-  
 841-870 Arg-Asp-Thr-Lys-Leu-Gly-Pro-Glu-Glu-Ile-Thr-Ala-Asp-Ile-Pro-Asn-Val-Gly-Glu-Ala-Ala-Leu-Ser-Lys-Leu-Asp-Glu-Ser-Gly-Ile-  
 871-900 Val-Tyr-Ile-Gly-Ala-Glu-Val-Thr-Gly-Gly-Asp-Ile-Leu-Val-Gly-Lys-Val-Thr-Pro-Lys-Gly-Glu-Thr-Gln-Leu-Thr-Pro-Glu-Lys-  
 901-930 Leu-Leu-Arg-Ala-Ile-Phe-Gly-Glu-Lys-Ala-Ser-Asp-Val-Lys-Asp-Ser-Ser-Leu-Arg-Val-Pro-Asn-Gly-Val-Ser-Gly-Thr-Val-Ile-Asp-  
 931-960 Val-Gln-Val-Phe-Thr-Arg-Asp-Gly-Val-Glu-Lys-Asp-Lys-Arg-Ala-Leu-Glu-Ile-Glu-Met-Gln-Leu-Lys-Lys-Hsp-Leu-  
 961-990 Ser-Glu-Ser-Leu-Gln-Ile-Leu-Glu-Ala-Gly-Leu-Phe-Ser-Arg-Ile-Arg-Ala-Val-Leu-Val-Ala-Gly-Cly-Val-Glu-Ala-Glu-Lys-leu-Asp-  
 991-1020 Lys-Leu-Pro-Arg-Asp-Arg-Ile-Asp-Glu-Gly-Lys-Gln-Asn-Gln-Leu-Glu-Gln-Leu-Ala-Glu-Gln-Tyr-Asp-Glu-  
 1021-1050 Leu-Lys-His-Glu-Phe-Glu-Lys-Lys-Leu-Glu-His-Ala-Lys-Arg-Gly-Asp-Asp-Leu-Ala-Pro-Gly-Val-Leu-Lys-Ile-Val-

Таблица 7

Расположение связей Asp-X, устойчивых к действию протеиназы из *St. aureus* в  $\beta$ -субъединице ДНК-зависимой РНК-полимеразы *E. coli*

Тип связи	Локализация связи в цепи белка
Asp-Glu	303–304, 601–602, 739–740, 866–867, 1004–1005, 1166–1167, 1341–1342
Asp-Asp	280–281
Asp-Asp-X	423–425, 443–445, 1040–1042
Asp-Asn	192–193, 234–235
Asp-Gln	648–650
Asp-Arg	358–359, 393–394, 826–827, 995–996
Asp-Lys	160–161, 696–697, 990–991, 1064–1065
Asp-Pro	42–43, 189–190, 354–355
Asp-X-Asp-Y	158–161, 444–447
Asp-X-Glu	254–256
Glu-Asp-X	392–394, 813–815, 825–827
Asp-X-Pro	23–25, 696–698, 785–787, 1203–1205

Таблица 8

Влияние соседних основных аминокислотных остатков на степень гидролиза связей Asp-X

Полностью не расщепляемые связи	Остатки	Частично расщепляемые связи	Остатки
Asp-Ile-Arg	434–436	Lys-Asp-Ile-Lys	115–118
Arg-Asp-Val	548–550	Arg-Asp-Thr	841–843
Asp-Val-Lys	912–914	Lys-Asp-Leu	958–960
Lys-Asp-Tyr	299–301	Arg-Asp-Gly	936–938
Asp-Val-Arg	1154–1156	Asp-Gly-Arg	1214–1216

Ранее была отмечена способность протеиназы из *St. aureus* гидролизовать связи, образованные  $\alpha$ -карбоксильными группами остатков аспарагиновой кислоты [7]. Исходя из аминокислотной последовательности полученных пептидов нами было установлено, что в  $\beta$ -субъединице оказались устойчивыми связи Asp-X, где X — Asp, Glu, Asn, Gln, Lys, Arg, Pro. Не гидролизовались или гидролизовались с очень малой скоростью связи, образованные остатками аспарагиновой кислоты, находящейся в последовательности Asp-Asp-X, Glu-Asp-X, Asp-X-Asp-Y, Asp-X-Pro (табл. 7).

Наиболее часто в случае  $\beta$ -субъединицы полностью расщеплялись связи, образованные  $\alpha$ -карбоксильными группами остатков аспарагиновой кислоты и аминогруппами остатков алифатических аминокислот: Asp-Leu (320–321, 340–341, 396–397, 483–484, 790–791, 1150–1151), Asp-Val (81–82, 930–931), а также связи Asp-Ser (33–34, 711–712, 915–916), Asp-Phe (14–15) и Asp-Gly (1188–1189). Примечательно, что из 11 связей Asp-Leu гидролизовалось полностью шесть и частично три связи (632–633, 959–960, 1160–1161), а из четырех связей Asp-Ser полностью расщепилось три. В обоих случаях гидролизу не подвергались только те связи, где остатку аспарагиновой кислоты предшествовал остаток дикарбоновой аминокислоты: Asp-Asp-Leu (1040–1042) и Glu-Asp-Ser (813–815), либо связи типа Asp-X-Pro: Asp-Leu-Pro (1203–1205).

На степень гидролиза связей Asp-X оказывает влияние природа соседних с расщепляемой связью аминокислотных остатков. Наличие основных аминокислот приводит к стабилизации связи (табл. 8).

При анализе первичной структуры пептидов, полученных в результате гидролиза  $\beta$ -субъединицы протеиназой из *St. aureus*, было обнаружено, что наряду со связями типа Glu-X и Asp-X расщепились также три связи, образованные  $\alpha$ -карбоксильными группами остатков серина. Связи Ser-Leu (574–575) и Ser-Ala (531–532) гидролизовались полностью, а связь Ser-Val (55–56) — частично. В результате расщепления связи Ser-Val наряду

с пептидом III-32-1 (остатки 51—67) были получены пептиды III-1-2 (остатки 56—67) и IV-2 (остатки 51—55).

Таким образом, в результате проделанной работы установлена полная первичная структура 128 и частичная 16 пептидов. Полученные результаты способствовали успешному завершению исследований по определению аминокислотной последовательности  $\beta$ -субъединицы РНК-полимеразы. Статистическая обработка общирного экспериментального материала, полученного в результате исследования такого крупного белка, как  $\beta$ -субъединица, позволила сделать достаточно достоверные выводы о субстратной специфичности протеиназы из *St. aureus*.

### Экспериментальная часть

В работе использовали  $\alpha$ -химотрипсин (КФ 3.4.21.1), трипсин (КФ 3.4.21.4), карбоксипептидазы А (КФ 3.4.12.12) и В (КФ 3.4.12.3) (все Worthington, США), карбоксипептидазу Y (КФ 3.4.12; Boehringer, США), термолизин (КФ 3.4.24.4; Calbiochem, США), протеиназу из *St. aureus* (Miles, Англия), биогель P-4, катионаобменные смолы AG-50Wx4 и аминекс AG-50Wx2 (все Bio-Rad, США), сефадексы (Pharmacia, Швеция), трипс (Calbiochem, США),  $\beta$ -меркалтоэтанол, 5-диметиламино-1-пафталинсульфонилхлорид (Serva, ФРГ), силикагельные пластинки (20×20 см), моноподуксусную кислоту (Merck, ФРГ). Иодуксусную кислоту непосредственно перед использованием перекристаллизовывали из гептана. Дистилированную воду и раствор 8 М мочевины дезионизировали на колонках со смолой AG-50lx8(D) (Bio-Rad, США). Буферные растворы, использовавшиеся для разделения пептидов, а также 10% уксусную кислоту для элюции пептидов с бумаги, готовили на дезионизованной воде без аминокислот, очищенной на колонках «Bioexchanger» (Pierce, США).

4-N,N-Диметиламиноазобензол-4'-изотиоцианат был любезно предоставлен Ю. Б. Алаховым (Институт белка, г. Пущино Московской обл.).

Все остальные реактивы имели квалификацию ос.ч.

РНК-полимеразу выделяли по методу Берджеса из штамма *E. coli* B. [2]. В основу выделения  $\beta$ -субъединицы РНК-полимеразы была положена методика Хартмана [9].

*Карбоксиметилирование и цитраконилирование  $\beta$ -субъединицы.*  $\beta$ -Субъединицу (2 мкмоль) растворяли в 50 мл буфера, содержащего 6 М хлоргидрат гуанидина, 1 М трипс-НСl (рН 8,6) и 0,34 мл  $\beta$ -меркалтоэтанола, и карбоксиметилировали подуксусной кислотой по методу [10]. Раствор белка обессоливали на колонке (2,5×100 см) с сефадексом G-50, уравновешенным буфером, содержащим 6 М мочевину, 0,01 М трипс-НСl (рН 8,6). К раствору, терmostатированному при 2—4° С, постепенно добавляли 1 мл свежеперегнанного цитраконового ангидрида, поддерживая рН 8,0 с помощью 5 н. NaOH на автотитраторе ТТ1/ВР2 (Radiometer, Дания). Белок после окончания реакции обессоливали на колонке с сефадексом G-50, уравновешенным водой, содержащей аммиак (рН 9—10), и лиофилизовали.

*Гидролиз  $\beta$ -субъединицы протеиназой из *St. aureus* и разделение продуктов гидролизата.* Лиофилизованный препарат карбоксиметилированной и цитраконилированной  $\beta$ -субъединицы растворяли в 50 мл буферного раствора, содержащего 0,2 М NH<sub>4</sub>HCO<sub>3</sub>, 6 М хлоргидрат гуанидина (рН 8,0). Раствор дialisовали против 0,2 М NH<sub>4</sub>HCO<sub>3</sub> (рН 8,0). К свежевыпавшему осадку белка добавляли 5 мг протеиназы и вели гидролиз 20 ч при 37° С (соотношение фермент — субстрат по весу 1 : 60). После гидролиза смесь лиофилизовали. Гидролизат растворяли в 5 мл буферного раствора, содержащего 0,1 М NH<sub>4</sub>HCO<sub>3</sub>, 6 М хлоргидрат гуанидина (рН 8,0), и делили на колонке с биогелем P-4 (рис. 1). Полученные фракции лиофилизовали.

*Фракции I—III анализировали с помощью метода пептидных карт на пластинках с тонким слоем целлюлозы. Электрофорез проводили 45 мин в пиридин-ацетатном буферном растворе Б (пиридин — уксусная кислота — вода, 25 : 1 : 225, рН 6,5) при напряжении 800 В. Для хроматографии в перпендикулярном направлении использовали систему А (*n*-бутанол —*

пиридин — уксусная кислота — вода, 15 : 10 : 3 : 12). Для обнаружения пептидов карты обрабатывали 0,2% раствором нингидрина в ацетоне.

*Разделение пептидов фракции IV.* Фракцию IV растворяли в 1,5 мл 0,1 М  $\text{NH}_4\text{HCO}_3$  и обессоливали на колонке (1×100 см) с сефадексом G-10, уравновешенным тем же буфером, лиофилизовали и разделяли с помощью хроматографии на бумаге в системе А.

*Гидролиз химотрипсином.* 150 мг лиофилизованного препарата фракции I растворяли в 20 мл 0,1 М  $\text{NH}_4\text{HCO}_3$ , добавляли 3 мг химотрипсина и выдерживали 4 ч при 37° С. Гидролиз останавливали подкислением до pH 3. Гидролизат обессоливали на колонке (1,5×100 см) с сефадексом G-10, уравновешенным раствором 5%  $\text{CH}_3\text{COOH}$ , и лиофилизовали.

*Хроматография на катионите.* Подготовку смолы осуществляли по стандартной методике [11]. Колонку (0,6×60 см), термостатированную при 35° С, заполняли смолой, уравновешенной стартовым буфером (0,2 М пиридин-ацетатный буфер, pH 3,1). Пептидный материал растворяли в 10 мл 30% уксусной кислоты и наносили на колонку под давлением азота 1,5—2 атм. Разделение проводили при скорости элюции 30 мл/ч. Подачу растворов осуществляли насосом МЦ-300 (Ково, ЧССР) (см. рис. 2—4). Сначала через колонку пропускали 150 мл стартового буфера. Градиент I получали пропусканием через смеситель, содержащий 150 мл стартового буфера, 450 мл 0,2 М пиридил-ацетатного буферного раствора, pH 4,2; градиент II — 600 мл 0,5 М пиридил-ацетатного буфера, pH 5,0; градиент III — 700 мл 2,0 М пиридил-ацетатного буфера, pH 5,0. Затем колонку промывали 300 мл 2 М раствора пиридинина и 50 мл 0,5 н.  $\text{NaOH}$ . Детектирование пептидов во фракциях объемом 1,5 мл осуществляли по реакции с нингидрином, проводимой с помощью пептидного анализатора (Technicon, США). По результатам анализа фракции объединяли, упаривали на роторном испарителе до объема 0,5—1,0 мл.

*Деление пептидов фракции I-12 с помощью гель-фильтрации.* Упаренный досуха пептидный материал растворяли в 0,5 мл 0,1 М  $\text{NH}_4\text{HCO}_3$  и наносили на колонку (1×100 см) с сефадексом G-25 (сверхтонкий), уравновешенным тем же буфером. Пептиды элюировали 0,1 М  $\text{NH}_4\text{HCO}_3$  со скоростью 2 мл/ч.

*Хроматография и электрофорез на бумаге.* Для препаративного разделения пептидов использовали бумагу ЗММ. Хроматографию осуществляли в системе А. Электрофорез проводили 1 ч в буферном растворе Б в приборе с жидкостным охлаждением (Savant, США) с градиентом потенциала 80 В/см. Пептиды обнаруживали по реакции с нингидрином. В некоторых случаях использовали качественную реакцию Эрлиха [12]. Пептиды с бумаги элюировали раствором 10%  $\text{CH}_3\text{COOH}$ .

*Гидролиз пептидов I-1-1, I-5-3, II-16-1, II-23-2 термолизином.* Пептид (20 нмоль) растворяли в 0,1 мл 0,1 М  $\text{NH}_4\text{HCO}_3$ , а затем добавляли термолизин (соотношение фермент — субстрат 1 : 30, по весу) и выдерживали 3,5 ч при 37° С. Полученную смесь пептидов либо подвергали непосредственно химической деградации по методу Эдмана, либо разделяли с помощью хроматографии в тонком слое на целлюлозных пластинках в системе А и электрофореза в буфере Б. Пептиды с пластинок элюировались раствором 50% пиридинина.

*Гидролиз пептидов II-7-3, II-17-1, I-15-2, II-31-1 трипсином, а также пептида II-24-4 химотрипсином и определение аминокислотной последовательности полученных пептидов без разделения смеси проводили согласно [13].*

*Определение C-концевой последовательности пептидов* с помощью карбоксипептидаз А и В проводили по методике [14]. При использовании карбоксипептидазы Y к 1—5 нмоль пептида добавляли 5—10 мкг фермента в 0,1 М пиридил-ацетатном буфере, pH 5,5. Гидролиз проводили 1 ч при 37° С. Гидролизат лиофилизовали и анализировали с помощью аминокислотного анализатора D-550 (Durrum, США).

*N-Концевые аминокислоты* в пептидах определяли в виде Dns-производных по методу Трея [15].

*Химическую деградацию пептидов с идентификацией Pht-производных осуществляли по методу [16].*

*Деградацию пептидов по методу Эдмана с идентификацией аминокислот в виде Dns-производных осуществляли по модифицированному методу Грея [17]. К 5—25 нмоль высущенного пептида добавляли 20 мкл 50% водного пиридина и 20 мкл 5% раствора фенилизотиоцианата в пиридине. Реакцию проводили 1 ч в атмосфере аргона при 45° С, затем растворитель отгоняли в вакууме. К сухому остатку добавляли 40 мкл трифторуксусной кислоты и выдерживали 30 мин при 45° С в атмосфере аргона, после чего трифторуксусную кислоту отгоняли в вакууме и высушивали остаток (15 мин при 60° С). К остатку добавляли 30—40 мкл воды и экстрагировали этилацетатом (2×30 мкл). Водную фазу высушивали в вакууме, остаток растворяли в пиридине и отбирали аликвоту пептида для дансилирования. Идентификацию Dns-производных осуществляли по методу [15]; С-концевые остатки дикарбоновых аминокислот идентифицировались без кислотного гидролиза.*

Для идентификации остатков глутаминовой и аспарагиновой аминокислот и их амидов этилацетатные экстракты после соответствующего цикла деградации высушивали, затем добавляли по 150 мкл 1 н. HCl и инкубировали 5 мин при 80° С. Фенилтиогидантонны аминокислот экстрагировали из водной фазы этилацетатом (3×200 мкл) и экстракт высушивали. Остаток растворяли в 25 мкл этилацетата, наносили на пластинку с силикагелем и подвергали двумерной хроматографии в системах растворителей: I — хлороформ, стабилизированный этанолом (0,5%), II — хлороформ, стабилизированный раствором этанол — уксусная кислота (8 : 2; 0,5%). Для обнаружения фенилтиогидантонов аминокислот пластинку опрыскивали 1% раствором никгидрина в смеси абсолютного этанола с коллидином (95 : 6) и выдерживали 5 мин при 110° С. После такой обработки Pht-производные глутаминовой и аспарагиновой кислот окрашиваются в разные цвета [18].

*Деградацию пептидов с идентификацией DABth-производных аминокислот проводили по методу [19].*

Авторы выражают благодарность акад. Ю. А. Овчинникову за постоянный интерес к этой работе и помошь при ее выполнении.

## ЛИТЕРАТУРА

1. Ovchinnikov Yu. A., Lipkin V. M., Modjanov N. N., Chertov O. Yu., Smirnov Yu. V. FEBS Lett., 1976, v. 76, № 1, p. 108—111.
2. Burgess R. R. J. Biol. Chem., 1969, v. 244, № 2, p. 6168—6178.
3. Ovchinnikov Yu. A., Monastyrskaja G. S., Gubanov V. V., Guryev S. O., Chertov O. Yu., Modjanov N. N., Grinkevich V. A., Makarova I. A., Marchenko T. V., Polovnikova I. N., Lipkin V. M., Sverdlov E. D. Eur. J. Biochem., 1981, v. 116, № 3, p. 621—629.
4. Липкин В. М., Марченко Т. В., Хохряков В. С., Половникова И. Н., Поганенко Н. А., Овчинников Ю. А. Биоорган. химия, 1980, т. 6, № 3, с. 332—347.
5. Модянов Н. Н., Липкин В. М., Смирнов Ю. В., Чертов О. Ю., Поганенко Н. А., Шубаева Т. М. Биоорган. химия, 1978, т. 4, № 2, с. 158—179.
6. Smith E. L. Biochem. and Biophys. Res. Commun., 1976, v. 72, № 2, p. 411—417.
7. Липкин В. М., Модянов Н. Н., Смирнов Ю. В., Чертов О. Ю., Хохряков В. С., Тюрип В. В., Поганенко Н. А. Биоорган. химия, 1978, т. 4, № 2, с. 180—195.
8. Wootton J. C., Baron A. J., Lincham J. B. C. Biochem. J., 1975, v. 149, № 3, p. 749—759.
9. Lill U. J., Behrendt E. M., Hartmann G. R. Eur. J. Biochem., 1975, v. 52, № 3, p. 411—420.
10. Crestfield A. M., Moore S., Stein W. H. J. Biol. Chem., 1963, v. 238, № 2, p. 622—627.
11. Овчинников Ю. А., Кирюшкин А. А., Егоров Ц. А., Абдулаев Н. Г., Киселев А. П., Модянов Н. Н. Биохимия, 1972, т. 37, № 3, с. 451—460.
12. Reddi K. K., Kodicek E. Biochem. J., 1953, v. 53, № 2, p. 286—290.
13. Биноградова Е. И., Фейгина М. Ю., Алданова Н. А., Липкин В. М., Смирнов Ю. В., Поганенко Н. А., Абдулаев Н. Г., Киселев А. П., Егоров Ц. А., Овчинников Ю. А. Биохимия, 1973, т. 38, № 1, с. 3—21.
14. Amber E. P. In: Methods in Enzymology / Ed. Hirs C. H. W. N. Y.: Acad. Press, 1967, v. XI, p. 156—166.
15. Grey W. R. In: Methods in Enzymology / Ed. Hirs C. H. W. N. Y.: Acad. Press, 1967, v. XI, p. 139—147.
16. Edman P., Begg J. Eur. J. Biochem., 1967, v. 1, № 1, p. 80—91.

17. Grey W. R. In: Methods in Enzymology / Ed. Hirs C. H. W. N. Y.: Acad. Press, 1967, v. XI, p. 469-475.
18. Roseau G., Paniel P. J. Chromatogr., 1969, v. 44, № 2, p. 392-395.
19. Chang J. U., Grasser E. M. Biochem. J., 1976, v. 157, № 1, p. 77-81.

Поступила в редакцию  
11.1.1989

## PRIMARY STRUCTURE OF THE $\beta$ -SUBUNIT OF *E. COLI* DNA-DEPENDENT RN POLYMERASE. HYDROLYSIS WITH *STAPHYLOCOCCUS AUREUS* PROTEA $\dot{S}$

LIPKIN V. M., MAKAROVA I. A., GRINKEVICH V. A., AKHAPKINA I. G.,  
POTAPENKO N. A., TELEZHINSKAYA I. N.

*M. M. Shemyakin Institute of Bioorganic Chemistry, Academy  
of Sciences of the USSR, Moscow*

The carboxymethylated and citraconylated  $\beta$ -subunit of DNA-dependent RNA polymerase was hydrolyzed with *Staphylococcus aureus* protease. The hydrolysate was separated on Bio-gel P-4, followed by ion-exchange chromatography, and was further purified by paper chromatography and electrophoresis. As a result, 144 peptides were isolated, the complete amino acid sequence for 128 and partial sequence for 16 of them being determined. These peptides in total contain 1087 amino acid residues.